

Studying the Effectiveness of Steel Frames Using Different Bracing Systems under Earthquake Loads by Nonlinear Static Analysis

Hiba Ibraheem* 

Dr. Naeel Hassan**

(Received 13 / 6 / 2025. Accepted 9 / 9 / 2025)

□ ABSTRACT □

Traditional methods used in designing earthquake-resistant structures do not adequately account for performance levels and seismic risk. This has necessitated the development of alternative approaches that provide a more accurate representation of a structure's actual behavior during an earthquake. Performance-Based Engineering has emerged as a method that ensures precision and efficiency in the analysis, evaluation, and design processes. The significant drifts and displacements observed in steel frames require the application of strengthening techniques to control these displacements and ensure stability under lateral loads. Bracing has proven effective in enhancing performance by providing high stiffness and resistance while simultaneously reducing displacements. In this study, a three-dimensional analysis was conducted on two steel structures: Structure A (four stories) and Structure B (eight stories), both reinforced with four types of central bracing systems (X-bracing, V-bracing, IV-bracing, and Diagonal (D) bracing), using nonlinear static analysis. The results indicated that adding bracing significantly improved performance by increasing elastic stiffness, lateral stiffness, and resistance while reducing relative drifts and displacements. For structure A, Diagonal (D) bracing was identified as the most efficient pattern, offering the highest resistance, lowest drift, and superior elastic and lateral stiffness. For structure B, X-bracing proved to be the most resistant, exhibiting the least drift while providing high stiffness.

Keywords: Performance-Based Analysis, Nonlinear Static Analysis, Performance level, Bracing systems, Performance enhancement.

Copyright  :Latakia University journal-Syria (Formerly Tishreen), The authors retain the copyright under a CC BY-NC-SA 04

*Postgraduate Student (Master), Department of Structural Engineering, Faculty of Civil Engineering, Lattakia University (Formerly Tishreen), Lattakia, Syria. hebahibraheem@gmail.com.

**Professor, Department of Structural Engineering, Faculty of Civil Engineering, Lattakia University (Formerly Tishreen), Lattakia, Syria.

دراسة كفاءة الإطارات الفولاذية باستخدام أنظمة تربط مختلفة تحت تأثير الأحمال الزلزالية باستخدام التحليل статистический линейной

هبة محمد ابراهيم *
الدكتور نايل حسن *

(تاریخ الإیادع 13 / 6 / 2025. قُبِل للنشر في 9 / 9 / 2025)

مُلخص

لا تأخذ الطرائق التقليدية المستخدمة في تصميم المنشآت المقاومة للزلزال بالاعتبار مستويات الأداء والخطر الزلزالي المؤثر. لذلك دعت الحاجة إلى طريقة أخرى تعطي تصوراً دقيقاً عن سلوك المنشأ الفعلي أثناء الزلزال، وكانت الهندسة القائمة على الأداء الطريقة التي وفرت الدقة والكفاءة في عمليات التحليل والتقييم والتصميم. تُحتمم انتزاعات الإطارات الفولاذية وانتقالاتها الكبيرة تطبيق طرائق وأساليب تدعيم لضمان التحكم بالانتزاعات وتأمين الاستقرار عند تأثير الحمولات الجانبية، وقد أثبتت التربط فعاليته في تحسين الأداء من خلال تأمين صلابة ومقاومة كبيرة كذلك تقليل الانتزاعات. تم في هذا البحث القيام بتحليل فراغي لمنشأين فولاذيين، (المنشأ A) بارتفاع أربعة طوابق و (المنشأ B) بارتفاع ثمانية طوابق، مدعاين بأربعة أنماط من التربط المركزي (التربط المتصالب X-التربط V-التربط IV-التربط القطري D)، وذلك بالاستعانة بالتحليل статистический линейной.

بيّنت النتائج أن إضافة التربط لعب دوراً هاماً في تحسين الأداء من خلال زيادة الصلابة المرنّة والصلابة الجانبية والمقاومة كذلك التقليل من الانتزاعات النسبية والانتقالات. لأجل المنشأ A تم اختيار التربط D كنمط التربط الأكثر كفاءة، فهو الأكثر مقاومة والأقل انتزاعاً كما أنه أعطى صلابة مرنّة وجاذبية عالية للمنشأ. أما المنشأ B فقد كان التربط X هو الأكثر مقاومة والأقل انتزاعاً وأعطى صلابة عالية.

الكلمات المفتاحية: التحليل القائم على الأداء، التحليل статистический линейной، مستوى الأداء، أنظمة التربط، تحسين الأداء.



حقوق النشر : مجلة جامعة اللاذقية (تشرين سابقاً) - سوريا، يحتفظ المؤلفون بحقوق النشر

بموجب الترخيص CC BY-NC-SA 04

* طالبة دراسات عليا (ماجستير) - كلية الهندسة المدنية - قسم الهندسة الإنشائية - جامعة اللاذقية (تشرين سابقاً) - اللاذقية - سوريا.

* أستاذ - كلية الهندسة المدنية - قسم الهندسة الإنشائية - جامعة اللاذقية (تشرين سابقاً) - اللاذقية - سوريا.

مقدمة:

حققت المنشآت الفولاذية في العقود القليلة الماضية انتشاراً واسعاً في الكثير من المنشآت العامة والصناعية كذلك الجسور، وانطلاقاً من واقع انتشارها الواسع كان من الضروري تصميم منشآت فولاذية ذات أداء جيد عند تأثير الزلزال، بحيث يضمن المصمم أداء مطابع يشتت كمية كافية من الطاقة الزلزالية بالإضافة إلى تأمين صلابة ومقاومة كافية. الإطارات الفولاذية المقاومة للعزم (MRF) تومن مطابع جيدة عند وصولها لمرحلة الخضوع إلا أن حساسيتها الكبيرة للانقلالات جعلتها غير قادرة على تحقيق صلابة إنسانية كافية في حالة الشدات الزلزالية العالية. تقدم إضافة الأربطة الفولاذية فعالية كبيرة في زيادة صلابة المنشآت وتبديل الطاقة الزلزالية كذلك القليل من الطلب المفروض على الأعمدة والجوانب، تم تقسيم التربط إلى قسمين: تربط مركزي concentric braced frames (CBF) و تربط لامركزي eccentrically braced frames (EBF). هناك الكثير من أنماط التربط المستخدمة في تدعيم المنشآت وتقويتها، وقد اقتصر هذا البحث على استخدام تربط مركزي وفق أربعة أنماط: التربط المقاطع X- التربط على شكل حرف V- التربط على شكل حرف V مقلوب (IV)- التربط القطري D.

إن اختيار نمط التربط المناسب الذي يحقق المتطلبات الزلزالية يتطلب القيام بتحليل لخطي، فأنظمة التربط تستخدم لمقاومة تأثير الزلازل من خلال تشغيل المنشآت بالمرحلة المرنة اللينة. بالاستناد إلى كفاءة وبساطة التحليل статيكي اللاخطي في توقع الأداء اللاخطي للمنشآت، أصبح الأداء الأكثر شيوعاً للقيام بالتحليل القائم على الأداء المتباينة في كلا الاتجاهين x و y، ودراسة تأثير إضافة التربط المركزي إلى الإطارات المحيطية في تحسين الأداء الزلزالي وإمكانية التحكم بقيم الانزياحات وتقليلها لترضي معايير الأداء الواردة في [1] FEMA 356 (2000).

أهمية البحث وأهدافه:

تهدف هذه الرسالة إلى ما يلي:

- تقييم سلوك منشآت فولاذية قائمة معدة للاستخدام السكني ذات ارتفاعات منخفضة ومتوسطة ومعرضة لخطر زلزالي محدد، وتقدير الأداء المحتمل ومن ثم تقييمه من خلال مقارنته مع الطلب المتوقع عند مستوى أداء محدد وفق معطيات الكود.

- تدعم هذه المنشآت من خلال اقتراح إضافة أنظمة تربط واستخدام تحليل pushover للتأكد من كفاءة التربط المضاف ومن ثم مقارنة بaramترات الاستجابة واقتراح نمط التربط الأكثر كفاءة لكل منشأ من المنشآت المدروسة.

تأتي أهمية هذا البحث من النقاط التالية:

- أن محاكاة سلوك المنشآت الفعلي أثناء مقاومة الزلزال أصبح حاجة وضرورة خصوصاً أن التحليل الخطى بشقيه статيكي والдинاميكي لا يستطيع التنبؤ بالسلوك الفعلى وآليات الانهيار تحت تأثير الزلزال.
- تدعم المنشآت القائمة ذو أهمية كبيرة وخاصة ملحة لتجنب الانهيار الكامل أو الجزئي بما يحفظ السلامة ويفصل من أضرار العناصر الإنسانية وغير الإنسانية.

طرائق البحث ومواده:

المنهج المتبعة في هذه الدراسة هو المنهج التحليلي الوصفي، حيث استخدم المنهج التحليلي لدراسة مدى فاعلية أنماط الترتيب المضافة إلى منشأين فولاذيين، واستخدم المنهج الوصفي للتعریف بالتحليل القائم على الأداء performance based analysis أولًا ثم تطبيقه ثانياً، كذلك التعريف بالتحليل الستاتيكي اللاخطي أو ما يعرف بتحليل الدفع المتناولي pushover كأداة للقيام بالتحليل القائم على الأداء وتقييم أداء النماذج المدروسة في هذا البحث.

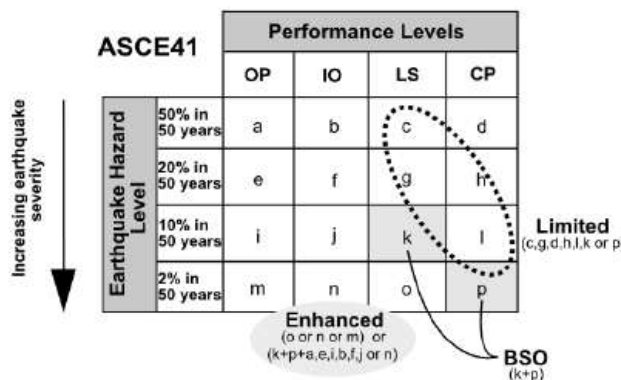
1. التحليل القائم على الأداء:

شكلت النتائج الكارثية التي حصدتها الزلال المدمرة حول العالم كزلازل Northridge وزلزال Kobe، وعدم قدرة المهندسين على توقع الأضرار الكبيرة التي حصلت بالمنشآت، انطلاقاً لفجر جديد في عالم الهندسة الزلالية وتبليغ فكرة الهندسة القائمة على الأداء (PBEE) منذ حوالي ثلاثة عقود من الزمن، وقد تم تبنيها في العديد من الکودات العالمية والمبادئ التوجيهية مثل ATC 40 , FEMA 356 , FEMA 273/274, ASCE41-06, ASCE 41-13, ASCE 41-17. [5,1,2,3,4] على الترتيب. التحليل القائم على الأداء هي طريقة تجمع بين التحليل اللاخطي Nonlinear وتقدير الخطر الزلالي seismic hazard. التحليل اللاخطي يقسم إلى تحليل ديناميكي لخطي Nonlinear static Analysis (NSA) وتحليل ستاتيكي لخطي Dynamic Analysis (NDA). التحليل الديناميكي اللاخطي أكثر أنواع التحليل دقة وموثوقية إلا أنها تتطلب الكثير من البيانات والمعطيات والدقة والقدرات البرمجية لذلك لا تعتبر طريقة عملية لكنها ضرورية في حالة الزلزال عالية الشدة وفي حال تأثير أنماط الاهتزاز الأخرى غير نمط الاهتزاز الأساسي في السلوك الديناميكي للمنشأ، لذلك تم اعتماد التحليل الستاتيكي اللاخطي كإجراء بديل وأكثر تبسيطًا يعطي نتائج ذات دقة جيدة في تقدير التشوّهات وتقييم أداء المنشآت المدروسة، وقد أثبتت الباحثون [6] دقة التحليل الستاتيكي اللاخطي بإجراء عملية التحليل الستاتيكي اللاخطي والتحليل النمطي modal pushover analysis(MPA) لأربع منشآت باستخدام خمس أنماط تحميل (1-نمط الأول للاهتزاز -2-المثلث المقلوب -3 - المستطيل الموزع بانتظام على كامل الارتفاع - 4 - الشكل القطعي لأجل الدور 52.5-s - نمط تحميل يتوافق مع النمط الأول للاهتزاز) ومن ثم مقارنة استجابة أنماط التحميل مع الاستجابة باستخدام التحليل الديناميكي. تم التوصل إلى نتيجة مفادها أن التحليل النمطي والتحليل الستاتيكي اللاخطي اعطى قيم مترابطة للانتقالات وبدقة جيدة بالمقارنة مع التحليل الديناميكي اللاخطي.

1.1 تحديد الأداء المستهدف :Target performance

الأداء المستهدف هو تحقيق لمستوى الأداء عند أكثر من مستوى هزة أرضية، بمعنى آخر يجمع ما بين مستوى الأداء ومستوى الخطر الزلالي. يتم اختيار أداء المنشآت تبعاً لحالة التضرر التي يسمح للمنشأ بالوصول إليها بعد حصول الزلزال. شمل اختيار مستوى الأداء المستهدف للمنشآت تحديد مستوى الأداء للعناصر الإنسانية والعناصر غير الإنسانية. بينما مستويات الخطر الزلالي فقد قسمت إلى أربع مستويات [1,2,17] :

- الزلال متكررة الحدوث frequent earthquake: احتمالية تجاوز 50% كل خمسين عام (73 سنة عودة).
 - الزلال المتباude occasional earthquake: احتمالية تجاوز 30% كل خمسين عام (225 سنة عودة).
 - الزلال نادرة الحدوث rare earthquake: احتمالية تجاوز 10% كل خمسين عام (475 سنة عودة).
 - الزلال النادرة جداً very rare earthquake: احتمالية تجاوز 2% كل خمسين عام (2475 سنة عودة).
- الشكل (1) يوضح العلاقة بين مستويات الأداء ومستويات الخطر كما في [17]. ASCE 41-06



الشكل (1) مستويات الأداء المستهدف وفق معايير [17] ASCE 41-06

الوكالة الفيدرالية لإدارة الكوارث FEMA والجمعية الأمريكية للمهندسين المدنيين ASCE والعديد من الجهات الحكومية المعنية بالكوارث الطبيعية قد ضمنت في مواصفاتها وتعليماتها التوجيهية ثلاثة مستويات للأداء المستهدف:

basic safety objective, limited rehabilitation, enhanced rehabilitation

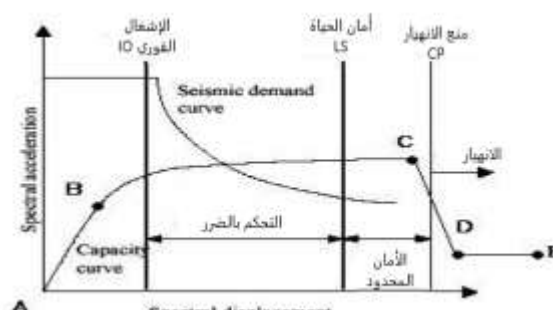
يتم الاختيار من قبل المالك أو المهندس المشرف للأداء الهدف المناسب تبعاً لأهمية المنشأ ووظيفته ومستوى الاهزة التي سيتم دراسته المنشأ وفق تأثيرها. أكثرها شيوعاً هو هدف السلامة العامة (BSO) basic safety objective الذي يهدف إلى تقليل المخاطر الناجمة عن الزلزال إلى مستوى الأداء LS. من المتوقع للمبني التي تتحقق هدف السلامة العامة تعرضاً لأضرار طفيفة نسبياً عند تأثير زلزال متكررة ومتوسطة الشدة، وعند تأثير زلزال القوية ونادرة الحدوث فمن المتوقع حصول ضرر أكبر بعناصر المنشأ وخصائص مادية وبشرية. الشكل يوضح أن تحقيق هدف السلامة العامة يكون بتحقيق مستوى أداء مزدوج CP لأجل زلزال باحتمالية تجاوز 2% كل 50 عام (توافق مستوى الزلزال المعتر الأخذ (MCE) maximum considered earthquake) ومستوى الأداء LS لأجل زلزال باحتمالية تجاوز 10% كل 50 عام (توافق مستوى الزلزال التصميمي (DBE) design basic earthquake) [1].

الأداء الهدف المطلوب تحقيقه في هذا البحث هو هدف السلامة العامة. وبالعودة على الخارطة الزلزالية للجمهورية العربية السورية نجد أن التسارعات الزلزالية وضعت لأجل حدث زلزالي باحتمالية تجاوز 10% كل 50 عام أي مستوى الزلزال التصميمي DBE لذلك فإن مستوى الأداء الهدف المطلوب تحقيقه هو LS.

2.1 مستويات الأداء : performance levels

مستويات الأداء هي توصيف لحالة العناصر الإنسانية وغير الإنسانية ومقدار ضررها المتوقع بعد حدوث الزلزال.

الشكل (2) يوضح مستويات الأداء للمنشأ اعتماداً على التشوّهات الدّنّاء أثناء عملية التحميل.



الشكل (2) مستويات الأداء [15]

1.2.1 مستويات الأداء المتعلقة بالعناصر الإنسانية [1] Structural Performance Levels :

- Immediate Occupancy Performance Level(S-1): تحفظ العناصر المقاومة لقوى الشاقولية أو العناصر المقاومة لقوى الجانبية بمقاومة وصلابتها. قد تحتاج بعض هذه العناصر لعمليات ترميم بسيطة.
- Life Safety Performance Level (S-3): حدوث ضرر في عناصر المنشأ مع احتمال حصول انهيار كلي أو جزئي، نسبة الخسائر البشرية بفعل انهيار العناصر الإنسانية قليلة بالمقارنة مع المساحة الواسعة المتأثرة بالزلزال.
- Collapse Prevention Performance Level (S-5): يكون المنشأ على حافة الانهيار. قد يحدث انهيار بالعناصر المقاومة لقوى الجانبية، تشهات دائمة كبيرة بالمنشأ وأيضاً في مراحل أسوأ قد يحصل فشل عناصر ناقلة للحمولات الشاقولية لكن النظم الانشائي يبقى مستمراً في أداء وظيفته في نقل حمولات التقالة.
- Damage Control range (S-2): وهو المجال الواقع بين IO و LS يسمح للمهندس بتصنيف المنشأ وفق معايير تجمع بين توصيف الأداء لكلا مستويي الأداء IO و LS وقد وضع لتقليل وقت وكلفة الترميم.
- Limited Safety range(S-4): البارامترات التصميمية بين LS و CP ومعايير التشهات هي دمج بين مستويي الأداء LS و CP.
- Not Considered (S-6): للحالات التي يتم فيها إدراج بعض العناصر غير الإنسانية في عمليات التقييم والتدعم بسبب أهميتها (دعامات الدرايبرين - حاويات تخزين المواد الخطرة)، هذا المستوى يدخل احتمالية حدوث فشل إلى مستوى الأداء IO.

2.2.1 مستويات الأداء المتعلقة بالعناصر غير الإنسانية [1] Nonstructural Performance Levels :

- Operational Performance Level (N-A): فيه كل العناصر الغير إنسانية صالحة للاستخدام العملي.
- Immediate Occupancy Level (N-B): بعد حدوث الزلزال يحصل ضرر محدود في المعدات وأجهزة الأمان وأنظمة الوصول ضمن المنشأ كالابواب والسلام والمصاعد. على اعتبار المنشأ آمن من الناحية الإنسانية فمن الممكن البقاء فيه مع ترميم بعض العناصر.
- Life Safety Level (N-C): يحصل ضرر كبير و مكلف للعناصر غير الإنسانية مع ضمان عدم سقوطها وتهديدها لحياة الناس لتقليل الخطر على حياة الناس. ممرات الخروج سالكة. أنظمة التكيف وإخماد الحرائق كذلك مواسير نقل الماء تفقد وظيفتها.
- Hazards Reduced Level (N-D): يحصل ضرر كبير للعناصر غير الإنسانية دون وقوعها (درايبرين - الواح تغطية - سقوف مستعارة). في هذا المستوى تم إهمال أداء أنظمة إخماد الحرائق وأنظمة الأمان المماثلة.
- Not Considered Level (N-E): مستوى أداء يهمل فيه تضرر العناصر غير الإنسانية عدا بعض العناصر النافرة خارج حدود المبني يعاد ترميمها وبالتالي يكون رفع الكفاءة من خارج البناء دون الأخذ بالحسبان لتضرر العناصر غير الإنسانية.

3.2.1 مستويات الأداء العامة [1]: وتعبر عن مستوى الأداء للمنشأ ككل وهم عبارة عن دمج بين مستويات أداء العناصر الإنسانية ومستويات أداء العناصر غير الإنسانية.

• Operational Level (1-A) : يجمع بين مستوى الأداء (S1) للعناصر الإنسانية و (N-A) للعناصر غير الإنسانية. أغلب المنشآت يجب أن تتحقق هذا المستوى تحت تأثير الزلزال الخفيف إلا أنه من غير الاقتصادي تصميم المبني لتحقيق هذا المستوى عند تأثير الزلزال القوية.

• Immediate Occupancy Level (1-B) : يجمع بين مستوى الأداء (S1) للعناصر الإنسانية و (N-B) للعناصر غير الإنسانية. هو مستوى تتحقق المنشآت المدنية في حال تأثير الزلزال المتوسطة. كما ان بعض المنشآت الهامة والخاصة والمعرضة لزلزال قوية ت sqlSession لهذا المستوى.

• Life Safety Level (3-C) : يجمع بين مستوى الأداء (S3) للعناصر الإنسانية و (N-C) للعناصر غير الإنسانية. هذا المستوى يجب على المنشأ الوصول إليه عند تعرضه لزلزال قوية الشدة.

• Collapse Prevention Level (5-E) : يجمع بين مستوى أداء (S5) للعناصر الإنسانية و (N-E) Not Considered Level للعناصر غير الإنسانية. المنشآت التي تتحقق هذا المستوى من الممكن أن تسبب خطراً على حياة الناس جراء حصول انهيار بالعناصر غير الإنسانية. هذا المستوى يعتبر الأساس في عمليات إعادة تأهيل المنشآت بحيث تخفف من المخاطر على حياة الناس وبكلفة مالية منخفضة.

2. التحليل الستاتيكي اللاخطي:

أحد أنماط التحليل اللاخطي حيث يُطبق تحميل جانبي متزايد تدريجياً وفق نمط تحميل معروف مسبقاً ومع كل خطوة يقوم البرنامج بإعادة حساب النموذج الرياضي وتعديل مصفوفة الصلابة حتى يصل المنشأ لنقطة الانتقال الهدف أو تشكل ميكانيزم انهيار المنشأ يؤدي إلى توقف التحليل [13].

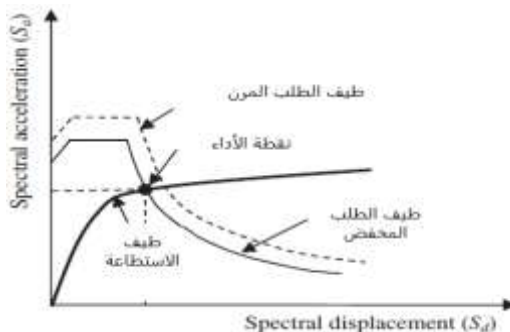
التحليل الستاتيكي اللاخطي أو ما يعرف بتحليل الدفع المتالي (pushover) ليس له أساس نظرية، تم ابتكاره عام 1970 وقد انتشر في العقدين الأخيرين بشكل واسع إذ التمس المهندسون الكثير من المميزات التي تميزه عن التحليل الخطى الذي يستخدم منحنيات إجهاد تشوہ ويدخل عليها تعديلات مرتبطة بتشوه المنشأ وسلوك المواد.

يعتمد بشكل أساسى على فرضية دراسة سلوك المنشأ بنظام متعدد درجات الحرية MDOF من خلال مكافنته بنظام أحادى درجة الحرية (SDOF) مما يعني أن الاستجابة محسومة بنمط واحد هو نمط الاهتزاز الأساسى والذي يبقى ثابتاً حتى بعد دخول المنشأ بمرحلة اللذنة [20].

2.1 طائق التحليل الستاتيكي اللاخطي:

1.2.1 طريقة طيف الاستطاعة [5] (Capacity spectrum method (CSM)) :

تعتمد هذه الطريقة على إيجاد تقاطع منحني السعة مع منحني الطلب كما في الشكل باستخدام طيف استجابة تسارع-انتقال (ADRS) Acceleration displacement response spectrum (ADRS) والذي نحصل عليه من خلال تحويل منحني الاستطاعة المعطى كقوة مقابل انتقال إلى طيف استطاعة مماثل كتسارع طيفي مقابل انتقال طيفي، وتحويل طيف الطلب المعطى كتسارع مقابل زمن إلى طيف استجابة مماثل_ كما طيف الاستطاعة_ كتسارع طيفي مقابل انتقال طيفي، الشكل (3).



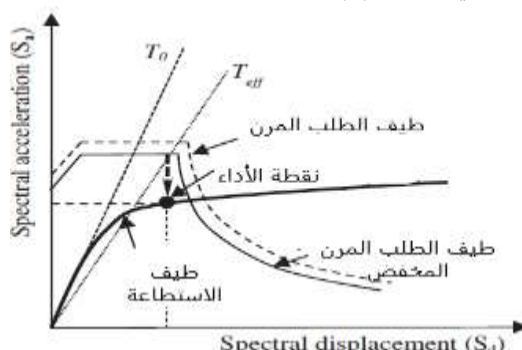
الشكل (3) تحديد نقطة الأداء باستخدام طريقة [5] CSM (ATC 40)

2.2.1 طريقة عامل الانتقال [1] (DCM) :Displacement coefficient method

في هذه الطريقة لا داعي لتحويل منحني الاستطاعة إلى الاحاديث الطيفية، سيتم تغير طلب الانتقال اللدن الأعظمي من خلال تعديل التوقعات المرنة لطلب الانتقال من خلال استخدام عدة معاملات تأخذ بالاعتبار تأثير السلوك الهستيري، تأثير $P-\Delta$ ذلك التحويل من جملة متعددة درجات الحرية (MDOF) إلى جملة أحدية درجة الحرية (SDOF) signal degree of freedom.

3.2.1 الطريقة الخطية المكافحة [14] (EL) :Equivalent linearization procedure

جاءت كتعديل على طريقة CSM الواردة في ATC 40 جعلتها طريقة أكثر دقة، خصّ التعديل طريقة حساب الدور الفعال T_{eff} والتخدام الفعال β_{eff} فأصبحت معادلاتها تابع لعامل المطابعة μ مع إدخال تأثير السلوك الهستيري وصلابة النظام بعد الخضوع وأصبحت نقطة الأداء هي النقطة التي تحقق مسقط نقاط تقاطع طيف الطلب مع شعاع الدور الفعال T_{eff} على طيف الاستطاعة، كما في الشكل (4).



الشكل (4) تحديد نقطة الأداء باستخدام الطريقة الخطية المكافحة [14]

4.2.1 طريقة الانتقالات المعدلة [14] (DCM) :Displacement coefficient modification

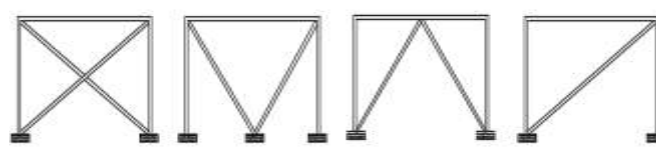
هذه الطريقة تضمنت إدخال تعديلات على المعاملات المستخدمة في حساب الانتقال الهدف لأجل طريقة DCM كإدخال تأثير التربة كما تم استبدال تأثير $P-\Delta$ بفرض حد للمقاومة الجانبية لمنع حدوث عدم استقرار ديناميكي من خلال فرض قيمة لعامل R لا يمكن تجاوزها.

ويبقى السؤال أي من هذه الطرق تعتبر الأكثر دقة في التحليل الستاتيكي اللاحق؟ جاء الباحث (POWELL [7] 2006) بالإجابة من خلال إجراء دراسة تحليلية لأربع منشآت فولاذية باستخدام طائق التحليل الأربعية وذلك لأجل نمطين للتناقص في الحلقة الهستيرية وتمت مقارنة الانتقالات الحاصلة مع التحليل الديناميكي الذي استخدم فيه ست

حركات أرضية وقد تبين أن الطريقة الخطية المكافئة هو الإجراء الأكثر دقة وبالتالي سيتم الاعتماد عليها في هذا البحث عند إجراء التحليل اللاتسي وتحديد إحداثيات نقطة الأداء.

3. تدعيم المنشآت باستخدام أنظمة تربط:

إن تحقيق الاستقرار الإنساني يعتبر هدف هام خاصة في المناطق ذات الشدات الزلزالية العالية. يعتبر الساحل السوري منطقة نشطة زلزالية. وجهة النظر الإنسانية الحديثة خصوصاً في المناطق ذات الشدات الزلزالية العالية تتجه نحو تقوية المنشآت بطريقة تزيد صلابتها ومقاومتها كذلك تأمين مطاوعة بحيث تصبح هذه المنشآت قادرة على تبديد طاقة الزلزال مع الحفاظ على سعة تحملها لحمولات الزلزال المؤثر. تؤمن إضافة عناصر تربط العديد من المزايا التي تجعل منه حل مثالي لرفع أداء المنشآت: زيادة مقاومة وصلابة المنشآت - تبديد الطاقة الزلزالية - تخفيف الأحمال عن الجوانب والأعمدة مما يسهم في تحسين الفائضية redundancy. لذلك فإن تحسين أداء المنشآت يكون بتصميم نظام تربط يحقق أي من هذه المزايا أو أي تجميع بين ميزتين أو أكثر. منذ سنوات وقد قسم التربط إلى تربط مركزي CBF وتربيط لامركزي EBF. التربط المركزي CBF يمتلك صلابة جانبية عالية وإنزياح منخفض، كما أنه يخفف من الطلب الزلزالي المؤثر على الأعمدة بقوى قص وانعطاف ويزيد من الضغط المحوري. يعتمد هذا النوع من التربط في نقل الأحمال إلى الأعمدة على القوى المحورية المتشكلة في عنصر التربط. يؤمن التربط المركزي استجابة مطاوعة نتمثل بتشوهات لينة في عنصر التربط. إلا أن مطاوعته وقدرته على تشتت الطاقة تتأثر بالتشوهات الحاصلة في عنصر الضغط بشكل تجنب موضع مكانت المفصل اللدن. حسب [16] AISC 341 (2005) تم تصنيف الإطارات المرتبطة إلى إطارات عادية مرتبطة (OCBF) ذات مطاوعة محدودة وتعتمد في أدائها على المقاومة. وإطارات خاصة مرتبطة (SCBF) يعتمد على المطاوعة العالية في تحقيق إنزياحات لينة كبيرة. التربط اللامركزي EBF يمتلك تربط صلابة كافية وقدرة جيدة على تشتت الطاقة الزلزالية. ينقل التربط اللامركزي الأحمال الزلزالية على شكل حمولات قص وانعطاف تتشكل في الرابط والذي يصمم بشكل دقيق وفق معايير الكود المعتمد، وبالعموم تصميم الرابط يقوم على مبدأ تأخير الانهيار الغير مطاوع كالتحنيب ليتيح فرصة حدوث دورانات لينة كبيرة في الرابط. وعلى سبيل الحصر سنقتصر في هذا البحث على استخدام التربط المركزي وفق أربعة انماط: تربط متصالب X، تربط على شكل V، تربط على شكل V مقلوب .D، تربط قطري (IV).



الشكل (5) أنماط التربط المستخدمة (الباحث)

الدراسة المرجعية :Literature Review

قام الباحثون [8] Gede Adi Susila. et al بتقييم منشأ مكتبي فولادي مكون من سبعة طوابق للتحقق من أداء المنشآت زلزالية في شروط المقاومة و الصلابة و المطاوعة، المسقط عبارة عن ثلاث فتحات في كل اتجاه طول كل فتحة 6m. تم استخدام برنامج ETABS 2015 لدراسة مدى فعالية إضافة تربط بشكل X و تربط بشكل V مقلوب. تم القيام بتحليل نمطي modal analysis وتحليل ستاتيكي لاتسي. قام بتقييم تأثير إضافة عناصر التربط وفق نسبة

الإجهاد PMM بالإضافة لدراسة التشوّهات لأجل التحليل الخطي وقد لاحظ ان إضافة التربيط لعب دور في رفع كفاءة الأداء المرن للمنشأ كما وقام الباحث ومن خلال التحليل اللاخطي بمقارنة منحنيات السعة والتي من خلالها تم توضيح قدرة نمطي التربيط في رفع مقاومة المنشأ (سعة) وصلابة المنشأ في شروط المرونة وأيضاً تم تقييم عامل المطاوعة. حدد الباحث الأداء في شروط الانزياحات العامة عند نقطة الانتقالات الهدف لكل نموذج وتوصل إلى أن جميع النماذج لها مستوى أداء LS.

قام الباحثون [9] بدراسة السلوك الزلزالي لخمس نماذج من المنشآت الفولاذية بارتفاع 10 طوابق والمؤلفة من ثلاثة فتحات في كل اتجاه طول كل فتحة 6m. التحليل 2D والنماذج عبارة عن تربيط بشكل V مقوّب وتربيط قطري D مطبقين بفتحات مختلفة لأجل كل نموذج. التحليل المستخدم هو التحليل الستاتيكي اللاخطي وقد تم تقييم النتائج وفق قيم القص القاعدي والانتقالات الجانبية والانزياح الطابقي النسبي كما تم تقييم منحنيات السعة لكل نمط تربيط بالنهاية تم دراسة آلية التلدن وتقييم المنشأ وفق عدد المفاصل في كل نمط. توصل الباحث أن النموذج الثالث هو الأكثر قدرة على تحمل القص والأقل انتقالاً وإنزياحاً ويمتلك أكبر مقاومة.

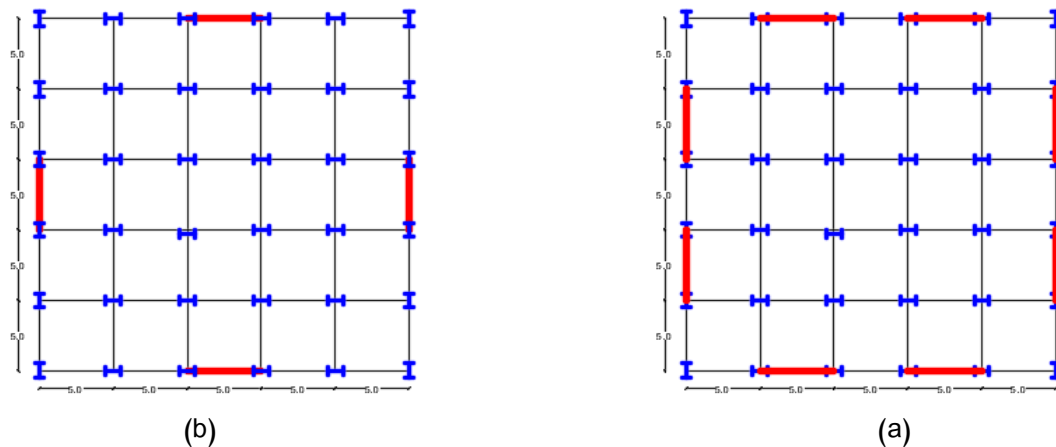
قام الباحث MOHAMMAD ALKHATTAB [10] بدراسة زلزالية لمنشأ فولاذية من خمسة طوابق G+4 وآخر من عشر طوابق G+9 يقع في مدينة جنوب قبرص، وتقييم تأثير إضافة عدد من اشكال التربيط V مقوّب INVERTED V على الأداء الزلزالي للمبني (IV) مركزي (CIV)، IV لامركزي (EIV)، IV مع تربيط ركني (KIV) بالاستعانة ببرنامج ETABS 2016. تم وضع التربيط الركني لتوازي عناصر التربيط (KIV1) ومرة لتوازي قدر الفتحة (KIV2). تم اعتماد مسقطين أحدهما منتظم في كلا الاتجاهين والآخر يحوي عدم انتظام في المسقط. قام الباحث بأنماط التحليل التالية: تحليل خطي باستخدام الطريقة الستاتيكية المكافئة (ELFM)، تحليل ستاتيكي لخطي، تحليل التاريخ الزمني. اعتمد الباحث بارامترات الاستجابة التالية لمقارنة السلوك الزلزالي: مقارنة قوة القص وانقال المنشأ بالطابق العلوي كذلك قيم الانزياح الطابقي وزن المنشأ وذلك لأجل التحليل الخطي. مقارنة قيمة القص عند نقطة الانتقال الهدف Target Displacement كذلك الصلابة الجانبية وعدد المفاصل اللدنة التي وصلت للمستوى لأجل كل مستوى أداء. تمت مقارنة قيم عامل المطاوعة μ لأجل التحليل الستاتيكي اللاخطي. مقارنة قيم القص والانتقالات في مستوى الطابق العلوي وذلك لأجل التحليل الديناميكي اللاخطي time history analysis. من وجهة نظر الباحث يعتبر التربيط KIV2 هو التربيط الأمثل فهو الأقل كلفة وذو أداء أفضل مقارنة بباقي أنماط التربيط من حيث المقاومة كما أنه أكثر مطاوعة مقارنة بالتربيط CIV.

قام الباحث Scott Michael Adams [11] بمنفذة بناء من ستة طوابق أبعاده (180x150) ft التربيط المعتمد هو SCBFs. ستم نفذة المبني باستخدام برنامج ETABS عند القيام بالتحليل الستاتيكي الخطي والديناميكي الخطي والستاتيكي اللاخطي. وبرنامج 4 PERFORM 3D version، عند القيام بالتحليل الستاتيكي اللاخطي والديناميكي اللاخطي. مستوى الضرر الزلزالي المعتمدين في هذا البحث هما BSE1 لمستوى الزلزال التصميمي والمطلوب تحقيق مستوى أداء LS و BSE2 لمستوى الزلزال الأعظمي والمطلوب تحقيق مستوى أداء CP. قام الباحث بمقارنة نسبة Demand Capacity Ratio (DCR) للانتقال اللدن لمفصل عنصر التربيط وذلك في الطرائق التحليلية الأربع (الستاتيكي الخطي، الديناميكي الخطي، الستاتيكي اللاخطي، الديناميكي اللاخطي) مع القيم الحدية الموضحة في الكود لكل مستوى أداء وتحديد مستوى الأداء وفق هذه النسبة، كذلك استعرض الباحث الانزياحات الطابقية النسبية.

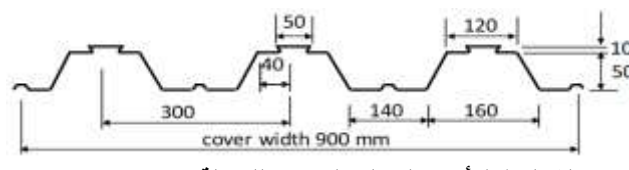
توصل الباحث إلى نتيجة مفادها أن الانزياحات لا تتعلق بدرجة تضرر عنصر التربط وأن عنصر التربط يعاني من تشوه كبير تحت تأثير قوى صغيرة. بالنهاية لم يتم تحقيق الأداء الهدف لأجل المستوى الزلزالي BSE1 كذلك BSE2.

4. الوصف المعماري للنماذج المدروسة وخصائصها الهندسية وخصائص النماذج:

تم اعتماد نماذجين بارتفاعين مختلفين الأول مكون من أربع طوابق (المنشأ A) والثاني من ثمانية طوابق (المنشأ B). المنشأ متوازن مسقته عبارة عن خمس فتحات في كل اتجاه كما في الشكل (6). ارتفاع كل طابق 3m. لتحسين أداء المنشأ تم استخدام أربعة أنماط من التربط المركزي (مقاطع بشكل X، بشكل V، بشكل V مقلوب (IV)، قطري (D)، الإطارات المرتبطة هي إطارات خاصة SCBF، عدد الفتحات المرتبطة في كل الاتجاهين متساوٍ كما في الشكل (6). عملية التصميم تحت تأثير الحمولات الشاقولية واختيار مقاطع عناصر المنشأ تمت بالاعتماد الكود الأوروبي EC3. تم اختيار مقاطع الجوازات IPE والأعمدة HEB والتربط مقاطع صندوقية TUBE. الفولاذ المستخدم S235 (Fy=235 Mpa) A، Fu=360 Mpa، البيتون C25، البلاطة المستخدمة من النوع deck مستخدمة من قبل [17] (Ghaebelrahmat 2017) والموضحة بالشكل (7). إسناد الحمولات الشاقولية الميّنة والجية كما جاء في الكود العربي السوري، كذلك تم تحديد الخصائص الزلزالية المرتبطة بالمنطقة التي يقع فيها المنشأ (محافظة طرطوس) حيث تم اعتماد قيم التسارعات الزلزالية عند الأدوار القصيرة $S_{de}=0.367$ متساوية إلى $S_{1s}=0.2s$ وتسارعات عند الأدوار الطويلة متساوية إلى $S_{1s}=1.471$

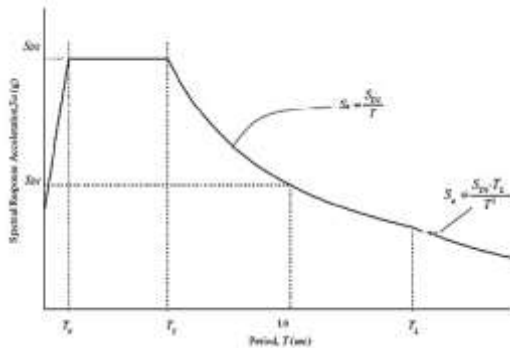


الشكل (6) المسقط المعماري وأماكن توضع التربط a) المنشأ من ثمانية طوابق b) المنشأ من أربعة طوابق



الشكل (7) أبعاد المقطع العرضي للبلاطة deck [17].

يوضح الشكل (8) طيف الاستجابة التصميمي المرن الذي يحدد حركة الأرض بما يوافق طيف الاستجابة الموجود في الكود ASCE 7-10 [18].



الشكل (8) طيف الاستجابة التصميمي المرن وفق [18]

تم إدخال اللاملاطية الهندسية ولاملاطية المادة في التحليل. وتم إسناد ديافارمات صلبة للبلاطات وذلك لمحاكاة تحويل الطابق على كتلة نقطية تتركز في مركزه. تم اعتماد نتائج التحليل الستاتيكي اللاملاطي باستخدام برنامج ETABS 2022. تم اعتبار نقطة الانتقال الهدف حوالي 4% من الارتفاع الكلي للمنشأ. بأغلب النماذج تم تكرار التحليل اللاملاطي الفراغي عدد كبير من المرات للوصول لمقاطع تربيط كافية وتموضع تربيط مناسب لتحمل الحمولات الزلزالية المفروضة. لوحظ أن أي تغيير في التربيط بالاتجاه x تؤثر على نتائج التربيط بالاتجاه y بالرغم من أن الأخير يكون متحقق، لذلك فقد طُبق التحميل الجانبي بالاتجاهين x و y . بالنسبة للمفاصل اللدننة تم تركيز المفاصل في نهايتي الجوانب والأعمدة على بعد 5% من عقدة اتصال الجائز مع العمود حيث أُسنِّدَت مفاصل انعطافيه M3 إلى الجوانب، ومفاصل ترتكب القوى المحورية مع العزوم PM2M3 في بداية ونهاية الأعمدة، بينما مفاصل التربيط فقد أُسنِّدَت مفاصل محورية P وضعت في متصف عنصر التربيط، جميع المفاصل اعتمدت فيها النموذج المفروض في البرنامج ومعايير القبول لأجل مستويات الأداء حسب معايير [4] ASCE 41-17. تقييم نتائج التحليل بالاستناد إلى المعايير الموجودة في [17] ASCE 41-06.

تقييم أداء النماذج وفق بارامتريات الاستجابة التالية:

- ❖ قوة القص عند نقطة الأداء base shear.
- ❖ منحنيات السعة Capacity curves. وهو تمثيل لآلية تصرف المنشأ خارج حدود المرونة تحت تأثير التحميل الزلزالي.
- ❖ الانزياحات الطابقية النسبية Interstorey drift ratio. وهي نسبة الانتقال الطابقي مقسوماً على ارتفاع الطابق، قامت بعض الكودات والمواصفات الزلزالية مثل [1] FEMA 356 بربط قيم الانزياحات بمستويات الأداء.

جدول (1) الانزياحات النسبية ووصف التضرر المأمول لمستوى الأداء لأجل الإطارات المدعمة

الإطارات المرتبطة بشكل مركزي			
CP	LS	IO	الحالة
عرض عناصر التربيط لخضوع أو تحنيب كبير فشل العديد من هذه العناصر كذلك الوصلات وانهيارها	عرض العديد من عناصر التربيط للخضوع أو التحنيب لكن لا وجود للانهيار، فشل العديد من الوصلات	خضوع أو تحنيب قليل لعناصر التربيط	
2%	1.5%	0.5%	قيمة الانزياح النسبي

- ❖ شكل الإطار المتشوه والمفاصل اللدننة المتشكلة Plastic hinges.
 - ❖ نسبة (D/C ratio) Capacity ratio. يمثل الطلب demand مقدار الانتقال اللدن لمفصل عنصر التربيط بينما تمثل السعة capacity القيمة الحدية للانتقال اللدن الموافقة لمستوى الأداء المدروس والمأخوذة من جداول ومعايير الكود المستخدم في تعريف المفاصل [4] (ASCE 41-17).
 - ❖ الصلابة الجانبية Lateral stiffness. وتعرف بأنها مقدار القوة الجانبية المطلوبة لإحداث انتقال واحد في المنشأ وتحسب بتقسيم قوة القص عند كل خطوة تحمي على الانتقال الموافق لها.
 - ❖ موقع نقطة الأداء وتحديد الأداء وفق شروط الانتقالات العامة. يمكن الاستفادة من منحني السعة في تحديد الحمولة والانتقال لمستويات الأداء المختلفة وبالتالي معرفة مستوى أداء المنشأ لأجل قيم الانتقال والحمولة الموافقة لنقطة الأداء.

5. نتائج التحليل الإنشائي :Structural Analysis Results

1.5 قوى القص والانتقالات الموافقة عند نقطة الأداء:

جدول (2) القص القاعدي للنموذج المكون من أربعة طوابق

المنشآت A:

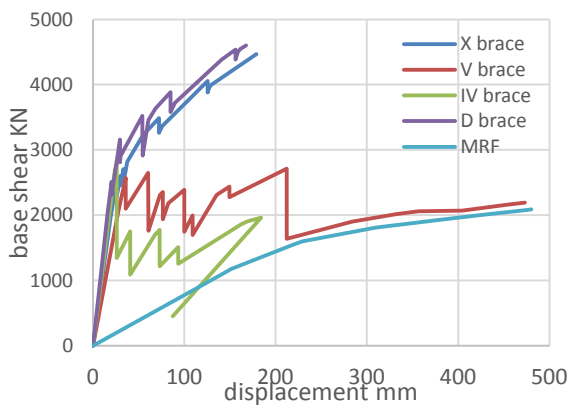
	X direction			Y direction		
	القص القاعدي (KN)	الانقلالات (mm)	%*	القص القاعدي (KN)	الانقلالات (mm)	%*
MRF	1001.58	267.58		1671.6	257.727	
X brace	2914.34	73.989	191	3461.242	72.123	107
V brace	2230.14	77.888	122.7	2280.63	72.575	36.4
IV brace	1494.19	64.1	49.2	1587.86	62.837	-5
D brace	3229	55.5	222.4	3270.36	53.989	95.6

جدول (3) القص القاعدي للنموذج المكون من ثمانية طوابق

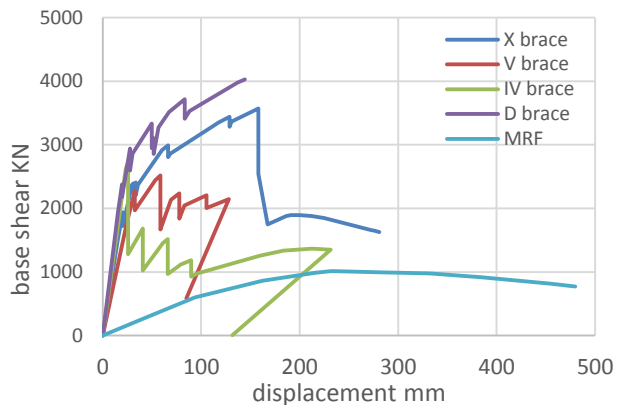
المنشآت:B:

	X direction			Y direction		
	القص القاعدي (KN)	الانقلالات (mm)	%*	القص القاعدي (KN)	الانقلالات (mm)	%*
MRF	3983.24	387.67		3631	425.34	
X brace	8700.7	184.4	118.4327	8329	165.42	129.3858
V brace	6552.75	162	64.50804	5935.4	146.36	63.46461
IV brace	4361.75	204.9	9.502566	4035.6	230.672	11.14294
D brace	7218.35	264.23	81.21805	6890.5	238.8	89.76866

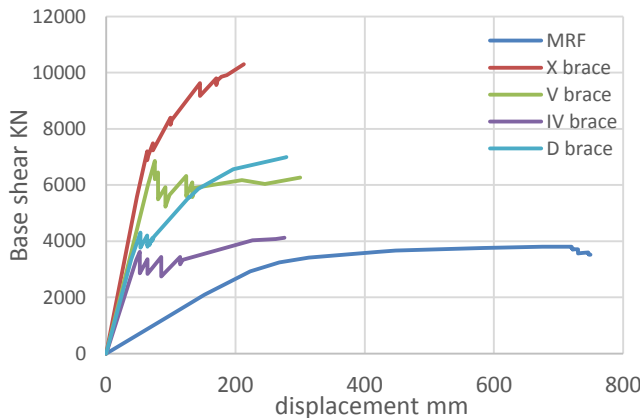
2.5 منحنيات السعة:



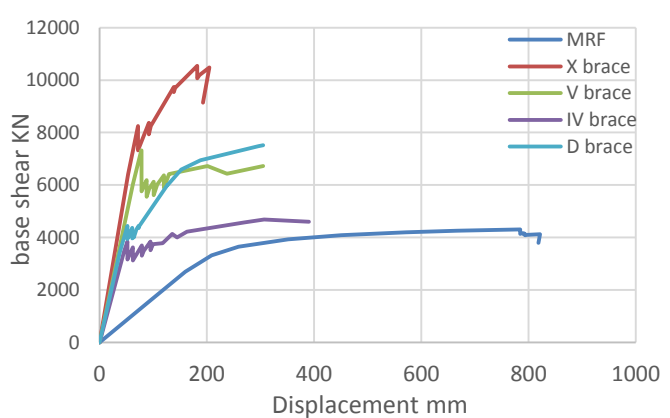
الشكل (10) منحنيات السعة للمنشأ A بالاتجاه y



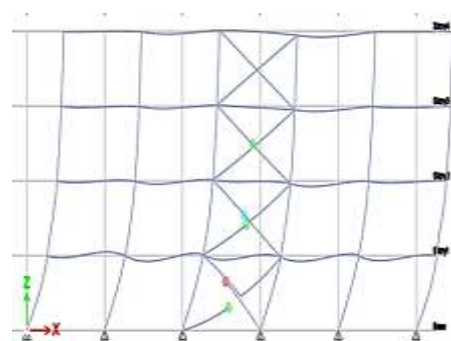
الشكل (9) منحنيات السعة للمنشأ A بالاتجاه x



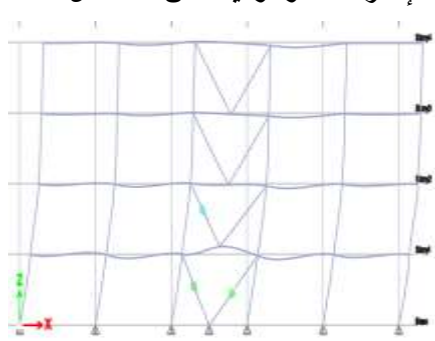
الشكل (12) منحنيات السعة للمنشأ B بالاتجاه y



الشكل (11) منحنيات السعة للمنشأ B بالاتجاه x

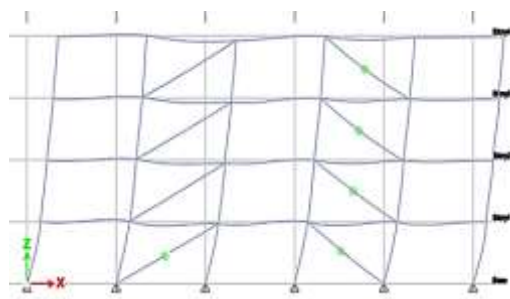


الشكل (14) تشكل المفاصل المنشأ A تربيط X تحت تأثير حالة التحميل X push

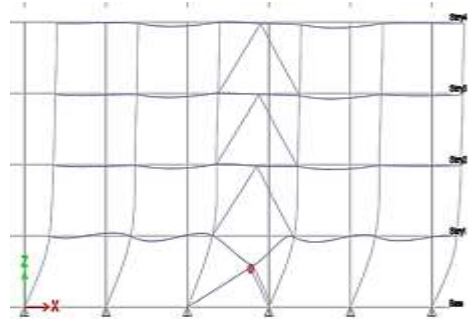


الشكل (13) تشكل المفاصل المنشأ A تربيط V تحت تأثير حالة التحميل X push

3.5 شكل الإطار المتشوه وآلية تلدن المفاصل:

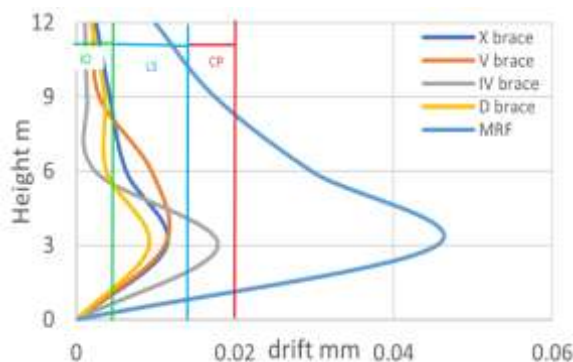


الشكل (16) تشكل المفاصل للمنشأ A تربط D تحت تأثير حالة التحميل push X

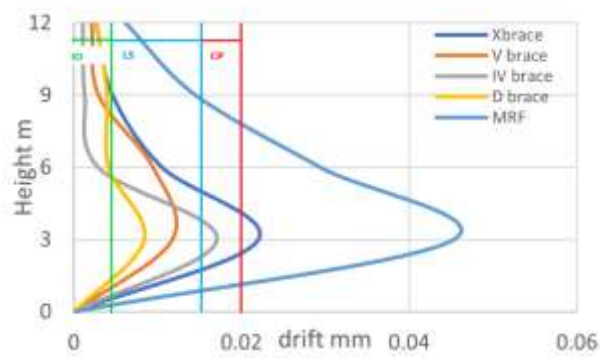


الشكل (15) تشكل المفاصل للمنشأ A تربط IV تحت تأثير حالة التحميل push X

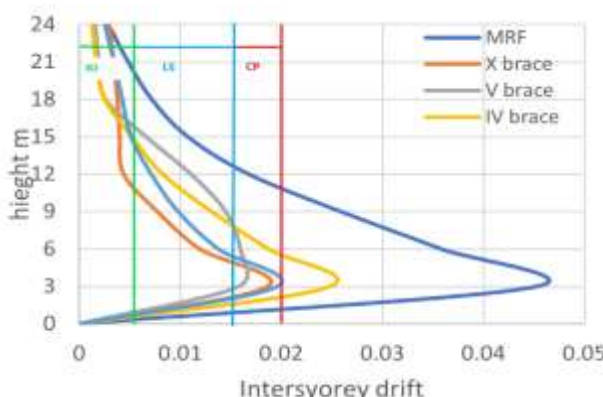
4.5 الانزياحات الطابقية النسبية:



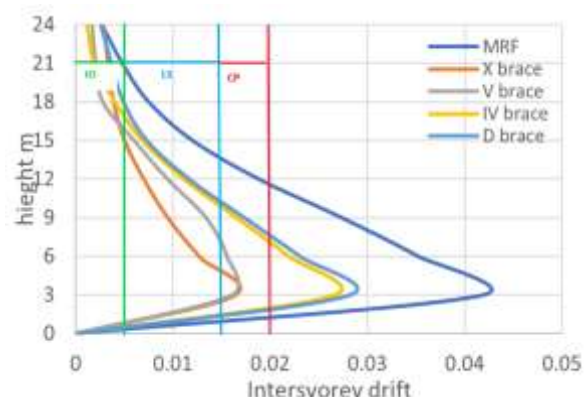
الشكل (17) الانزياحات النسبية المنشأ A تحت تأثير حالة التحميل push Y



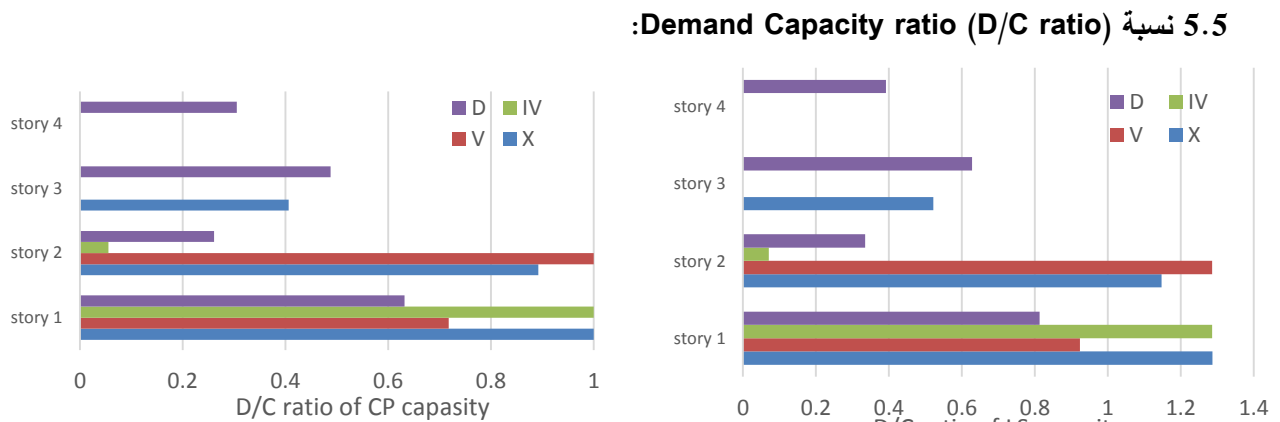
push X



الشكل (19) الانزياحات النسبية للمنشأ B تحت تأثير حالة التحميل push Y

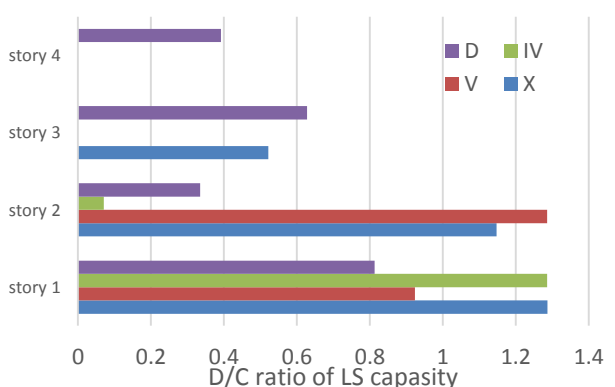


pushX

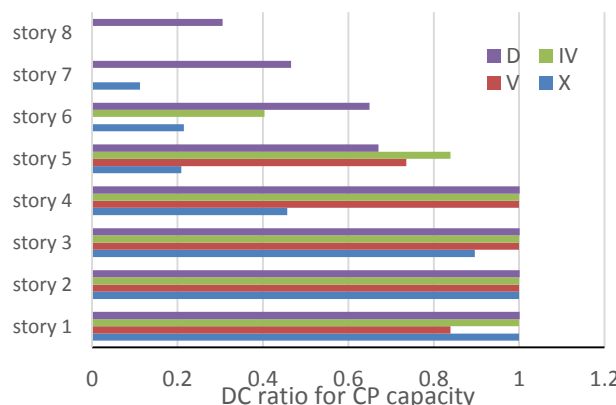


الشكل (22) نسبة D/C المنشأ A لأجل مستوى الأداء CP

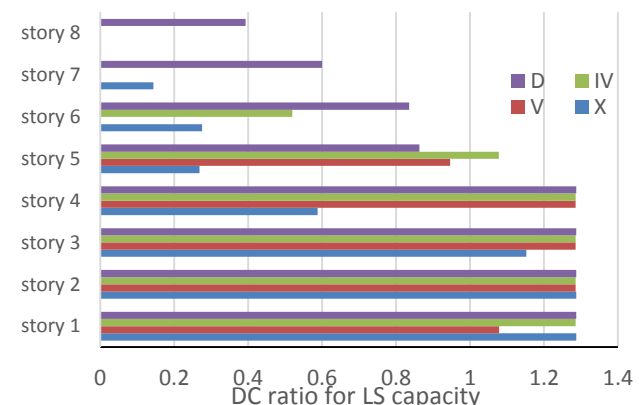
نسبة D/C المنشأ A لأجل مستوى الأداء LS



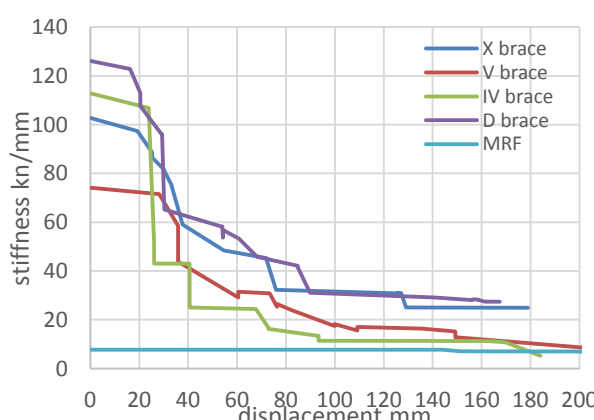
الشكل (21) نسبة D/C المنشأ A لأجل مستوى الأداء LS



الشكل (24) نسبة D/C للمنشأ B لأجل مستوى الأداء CP

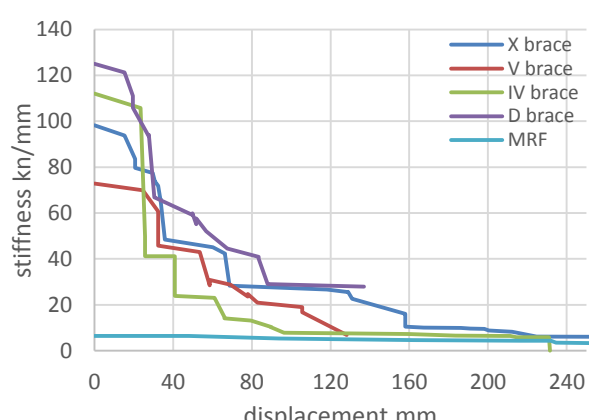


الشكل (23) نسبة D/C للمنشأ B لأجل مستوى الأداء LS

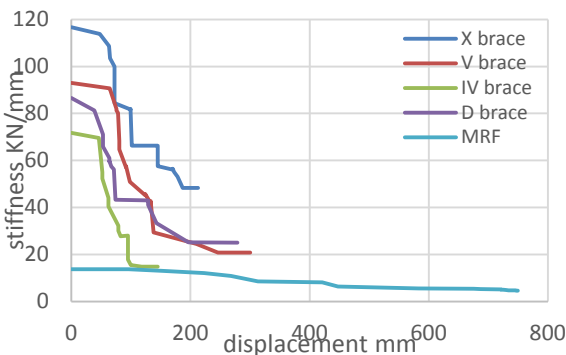


الشكل (26) الصلابة الجانبية المنشأ A بالاتجاه y

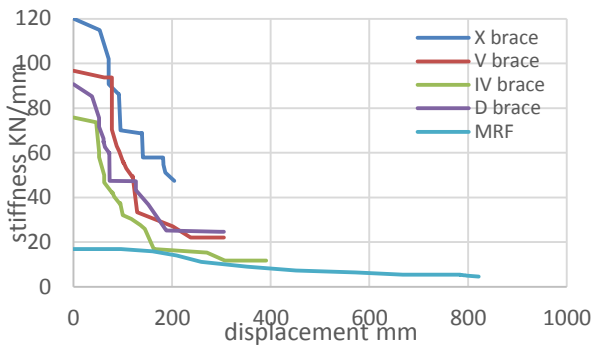
الصلابة الجانبية: 6.5



الشكل (25) الصلابة الجانبية المنشأ A بالاتجاه x

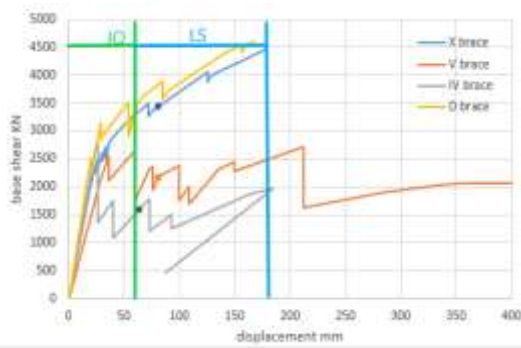


الشكل (28) الصلابة الجانبية للمنشأ B بالاتجاه y

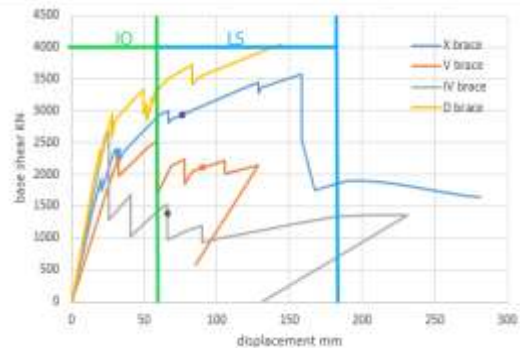


الشكل (27) الصلابة الجانبية للمنشأ B بالاتجاه x

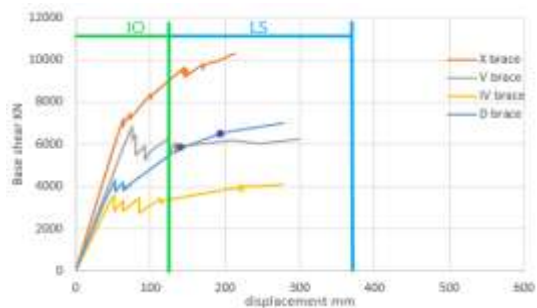
7.5 تحديد الأداء وفق شروط الانتقالات العامة:



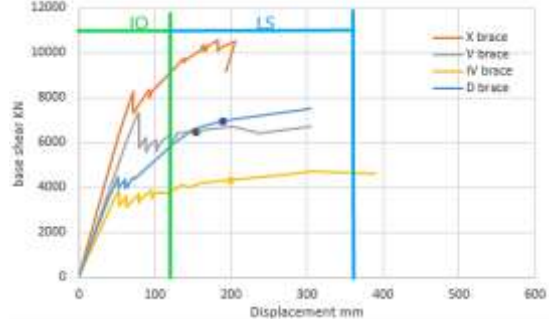
الشكل (30) نقطة الأداء المنشأ A بالاتجاه y



الشكل (29) نقطة الأداء المنشأ A بالاتجاه x



الشكل (32) نقطة الأداء للمنشأ B بالاتجاه y



الشكل (31) نقطة الأداء للمنشأ B بالاتجاه x

النتائج والمناقشة:

6. مناقشة نتائج التحليل:

1.6 القص القاعدي عند نقطة الأداء:

- المنشأ A: من الجدول (2) قيمة القص القاعدي بالاتجاه y أكبر من الاتجاه x. بالاتجاه x التربط D رفع من قيمة القص بشكل أكبر من باقي أنماط التربط بمعنى آخر أنه أعطى المنشأ مقاومة أعلى من باقي أنماط التربط،

بينما في الاتجاه y نجد أن التربيط X رفع قيمة القص بنسبة أكبر من التربيط D. يعود انخفاض مقاومة التربيط X في الاتجاه x إلى اختلاف مقاطع التربيط المستخدمة بكل الاتجاهين. أقل تربيط رفع من قيمة القص هو التربيط IV.

- المنشأ B: من الجدول (3) قوى القص بالاتجاه x أكبر من الاتجاه y. التربيط X رفع من قيمة القص القاعدي بنسبة أكبر من باقي أنماط التربيط يليه التربيط D ومن ثم التربيط V وفي النهاية التربيط IV بأقل قيمة قص. التربيط IV أعطى أقل قيمة لقوى القص بين أنماط التربيط.

2.6 منحنيات السعة:

- المنشأ A: الشكل (9) و (10)، التربيط D هو التربيط الأكثر صلابة ومقاومة بين أنماط التربيط حيث نلاحظ أن منحني السعة ارتفع أعلى من باقي منحنيات الأنماط الأخرى. التربيط IV هو الأكثر مطاوعة والأقل مقاومة، نلاحظ الانحدار في مقاومة التربيط IV بعد الوصول إلى حمولة الخضوع عكس التربيط X والتربيط D حيث نلاحظ تحسن في المقاومة بعد تجاوز حمولة الخضوع مما يدل على أنه يبدي سلوك جيد بالمرحلة اللينة. التربيط V والتربيط IV يعانيان من انكسارات عديدة في منحني السعة والناتجة عن فقدان في المقاومة. مطاوعة التربيط V بالاتجاه x أعلى من المطاوعة بالاتجاه y.
- المنشأ B: الشكل (11) و (12)، التربيط X ارتفع فوق كل المنحنيات مما يعني أنه التربيط الأكثر مقاومة وصلابة بين أنماط التربيط المدروسة. تزداد مقاومة التربيط D بعد الوصول لنقطة الخضوع مما يدل على أنه يبدي سلوك جيد بالمرحلة اللينة كما في المنشأ A. منحني السعة لأجل التربيط V والتربيط IV متشابه إلا أن التربيط V له مقاومة أكبر للحمولات الجانبية. منحني السعة لأجل التربيط IV هو أخفض من باقي المنحنيات. منحني السعة لأجل التربيط V والتربيط IV يبدي انكسارات في منحني السعة ناتجة عن حدوث انخفاض في مقاومة المنشأ أثناء التحميل كما في المنشأ A. التربيط D أكثر مقاومة من التربيط IV.

3.6 شكل الإطار المتشوه وأالية تلدن المفاصل:

ازداد عدد المفاصل المتشكّلة في عناصر التربيط عند إضافة التربيط للمنشأ غير المرتبط ، في المنشأ A تركزت المفاصل بمستوى الطابق الأول عند استخدام التربيط IV وبمستوى الطابق الثاني عند استخدام التربيط V، وتوزعت بشكل جيد على كامل الارتفاع عند استخدام التربيط X والتربيط D، لازالت جميع الجواز والأعمدة في المجال المرن.

في المنشأ B تشكّلت مفاصل في بعض جوازات الطابق الأول عند استخدام التربيط V والتربيط IV، بسبب العزوم الإضافية المطبقة على الجواز والناتجة عن طبيعة اتصال التربيط مع الجائز. كما تشكّلت المفاصل في جوازات الطابق الأول عند استخدام التربيط D وهذا لم نلاحظه عند إضافة التربيط X. حافظ التربيط X على العناصر الإنسانية (الجواز والأعمدة) مرنة. مفاصل عناصر التربيط توزعت بشكل أفضل من المنشأ A وشملت الطوابق الخمس الأولى.

4.6 الانزياحات الطابقية النسبية:

- المنشأ A: التربيط الأقل انزياحاً بين كل أنماط التربيط هو التربيط القطري D ولم تتجاوز انزياحاته القيم الموافقة لمستوى الأداء LS كما في الجدول (1). التربيط الأعلى انزياحاً بالاتجاه x هو التربيط X حيث تجاوزت قيم انزياحاته القيم الموافقة لمستوى الأداء CP، الشكل (17). أما بالاتجاه y نلاحظ الانزياح الكبير لأجل التربيط IV إلا أن الانزياح لم يصل للقيمة التي تتوافق مستوى الأداء CP، الشكل (18). نلاحظ أن إضافة التربيط X بالاتجاه x أعطى قيم انزياحات أعلى من قيم الانزياحات الناتجة عن إضافته بالاتجاه الآخر. التربيط V لم تتركز انزياحاته بمستوى الطابق الأول فقط على خلاف باقي أنماط التربيط حيث نلاحظ أن قيم الانزياحات للطابقين الأول والثاني متقاربة.

- المنشأ B: الانزياحات في كلا الاتجاهين متقاربة. انزياحات التربط X منخفضة. أعلى قيم للانزياحات بالاتجاه x كانت لأجل التربط القطري D الشكل (19)، وبالاتجاه y التربط IV الشكل (20)، بقيم الانزياحات تجاوزت القيم الموافقة لمستوى الأداء CP. الانزياحات لأجل التربط V تركزت بمستوى الطابق الثالث الأولى وقيمة مقارنة قيم الانزياحات مع المعايير الموجودة في ASCE 41-06 نجد أن انزياحات كل أنواع التربط وصلت للقيم التي تتوافق مع مستوى CP عدا التربط V والتربيط X الذي لم يتجاوز فيه مستوى الأداء في شروط الانزياحات الطابقية المستوى LS.

5.6 نسبة الطلب إلى السعة :Demand Capacity Ratio (D/C ratio)

- المنشأ A: الشكل (21) و (22) أقل أنماط التربط تضرراً كانت التربط القطري D. عند استخدام التربط V والتربيط IV نلاحظ تركز الضرر بمستوى الطابقين الأول والثاني، التضرر بمستوى الطابق الأول لأجل التربط V أقل من باقي أنماط التربط والسبب هو طبيعة اتصال التربط مع الأرض. لأجل التربط X نلاحظ الانزياحات القليلة بمستوى الطابق الثاني والتي لم تصل للقيم الموافقة لمستوى الأداء LS يقابلها تضرر كبير لعنصر التربط وصل للمستوى CP، يمكن القول إنه لا علاقة بين قيم الانزياحات الطابقية ونسبة التضرر لمفصل عنصر التربط وأن انزياح قليل للمنشأ قابل تضرر كبير لمفصل عنصر التربط وهذا يوافق مع النتيجة التي توصل إليها الباحث Scott [11].

Michael Adams

- المنشأ B: الشكل (23) و (24) المفاصل المسندة لعناصر التربط X هي الأقل تضرراً، بينما المفاصل المسندة لعناصر التربط القطري D أكبر تضرراً من باقي أنماط التربط. انزياحات التربط V لم تصل لمستوى CP وبيت ضمن حدود الانزياحات الموافقة لمستوى الأداء LS لكننا نلاحظ تضرر في مفاصل التربط وصل لمستوى CP. وهذا يتواافق مع النتيجة التي توصلنا إليها في المنشأ A، والتي نصت على أن تضرر عنصر التربط لا يتعلق بمقدار الانزياح وأن انزياح قليل أحدث تضرر كبير في مفصل عنصر التربط.

6.6 الصلابة الجانبية :

- المنشأ A: الشكل (25) و (26)، التربط IV له أعلى صلابة جانبية لكنه يعاني من انحدار كبير في الصلابة بعد تجاوز حمولة الخصوص. التربط القطري D حافظ على صلابة جانبية أعلى من باقي أنماط التربط. تسلسل الانخفاض بقيم صلابته الجانبية لأجل التربط X بالاتجاه y أكثر انسيابية من باقي أنماط التربط، الشكل (25). التربط V هو التربط الذي حافظ على صلابته ثابتة لأجل انتقالات أكبر قبل بلوغ إجهاد الخصوص.

- المنشأ B: الشكل (27) و (28)، تعاني كل أنماط التربط من انحدار كبير في صلابتها بعد تجاوز حمولة الخصوص. حافظ التربط X على قيم صلاة أعلى من باقي أنماط التربط، التربط IV هو الأقل صلاة بين أنماط التربط.

7.6 تحديد الأداء وفق شروط الانتقالات العامة:

- المنشأ A: الشكل (29) و (30)، أن جميع النقاط تقع في مستوى الأداء IO-LS عدا نقطة الأداء لأجل التربط القطري D لم تتجاوز مستوى الأداء IO وله أعلى نقطة أداء (أعلى قص وأقل انتقال). التربط IV له أخفض نقطة أداء.
- المنشأ B: الشكل (31) و (32)، جميع نقاط الأداء تقع في المجال بين IO-LS. نقطة الأداء لأجل التربط X هي أعلى بين جميع أنماط التربط. التربط IV له نقطة أداء منخفضة وذات انتقالات عالية.

الاستنتاجات والتوصيات:

في هذا البحث تم دراسة تأثير إضافة أربعة أنماط من التربيط المركزي (متقاطع بشكل X، بشكل V، بشكل V مقلوب IV)، قطري D)، لمبنيين فولاذيين الأول بارتفاع أربعة طوابق والثاني بارتفاع ثمانية طوابق وتقدير الأداء الزلزالي من خلال السير على نهج التحليل القائم على الأداء وتم استخدام برنامج ETABS 2022 للقيام بتحليل Pushover المستخدم لأجل تقييم أداء النماذج المعتمدة. بالنتيجة تم التوصل إلى النتائج التالية:

1. حق كلا النموذجين مستوى الأداء الهدف والذي هو LS.
2. الصلابة المرنة للمنشأ تؤثر في مطابعته الدلنة فمن خلال منحنيات الصلابة الجانبية نلاحظ أن المنشأ الذي حافظ على صلابته المرنة ثابتة لأجل انتقالات عالية يكون عامل مطابعته منخفض.
3. التربيط IV يُكسب المنشأ مطابعة عالية وقدرة على التلذن إلا أن مقاومته منخفضة ويتعرض لتدحرج كبير في الصلابة الجانبية بعد الخصوع، لذلك يعتبر التربيط الأقل كفاءة بين أنماط التربيط لأجل كل من النموذجين.
4. يتحسن أداء التربيط V والتربيط IV مع زيادة الارتفاع حيث أن تكرارات منحني السعة الناتجة عن انخفاض المقاومة أثناء التحميل يصبح أقل عند زيادة عدد الطوابق.
5. في المنشأ A، من خلال مقارنة قيم الانزيادات والتي تعبّر عن مستوى التضرر الطابقي نجد أن التربيط القطري D لم يصل القيم الموافقة لمستوى LS، وعند مقارنة نسبة DCR لعناصر التربيط والتي تعبّر عن مستوى تضرر العنصر نجد أن التربيط D هو الأقل تضرراً، وعند مقارنة مستوى الأداء العام نجد أن مستوى الأداء لأجل التربيط D كان IO، وبالتالي يكون التربيط D هو التربيط الأكثر كفاءة. يمكن استخدام التربيط X مع مراعاة كلفة استبدال عناصر التربيط وترميم وصلاتها بسبب انزياحاته العالية بالاتجاه X.
6. في المنشأ B، التربيط X هو الأقل انزياحاً بين أنماط التربيط الأخرى، وعند مقارنة نسبة DCR لعناصر التربيط والتي تعبّر عن مستوى تضرر العنصر نجد أن التربيط X هو الأقل تضرراً، وعند مقارنة مستوى الأداء العام نجد أن مستوى الأداء للتربيط X بين LS-IO وهو مستوى الأداء الهدف، وبالتالي يكون التربيط X هو التربيط الأكثر كفاءة ويمتلك مقاومة أعلى من باقي أنماط التربيط، التربيط القطري D خيار جيد يضيف مطابعة للمنشأ مع مراعاة كلفة استبدال عناصر التربيط وترميم وصلاتها بسبب انزياحاته العالية.
7. من الممكن إدخال التربيط اللامركزي وإعادة إجراء التحليل ومقارنة النتائج.
8. في هذا البحث تم الاقتصر على المسقط المنظم وبالتالي من الممكن دراسة نفس النماذج لأجل حالات عدم انتظام أفقية أو شاقولية.

References:

- [1] FEMA 356, Prestandard and commentary for the seismic rehabilitation of building, Federal Emergency Management Agency FEMA, Washington, D.C. (2000).
- [2] FEMA 273 Guidelines for the Seismic Rehabilitation of Building, Federal Emergency Management Agency FEMA, Washington, D.C.(1997).
- [3] ASCE SEI 41-13 Seismic Evaluation of Existing Buildings, American Society of Civil Engineers ASCE, Reston, V.A.(2014).
- [4] ASCE SEI 41-17 Seismic Evaluation of Existing Buildings, American Society of Civil Engineers ASCE, Reston, V.A. (2017).
- [5] ATC 40 Seismic Evaluation and Retrofit of Concrete Building, Applied Technology Council ATC 40, California. (1996).

- [6] M.A ASHHEIM , M. INET, and T.TJHIN, The Significance of Lateral Load Pattern in Pushover Analysis, *The 5th National Conference on Earthquake Engineering*, Istanbul, Turkey. (2008).
- [7] G.H. POWELL, Static Pushover Method: explanation comparison and implementation, Berkeley. (2009).
- [8] G.A. SUSILA, I.A. BUDIWATI, N. BUDIARTHRA, and D.A. SEMADI, Structural Integrity Under Seismic Loading of Low Medium Rise Structure: Numerical Analysis of Steel Frames, *The 3th Conference on Earthquake Engineering and Disaster Mitigation*, Bali, Indonesia. (2016).
- [9] A. SALOMA, Y. IDRIS, HANAFIAH, and N,OCTAVIANUS, Structural Behaviour of Steel Building with Diagonal and Chevron Braced CBF (concentrically Braced Frames) by Pushover Analysis, *International journal on Advanced Science Engineering*, Vol.7, No.2, Indonesia , 716-722, (2017).
- [10] M. AIKHATTAB, Seismic Behavior Evaluation of Inverted-V Braced Frames, Master's thesis, Nicosia. (2019).
- [11] S. Adams, Performance Based Analysis of Steel Buildings: Special Concentric Braced Frame, Master's thesis, California. (2010).
- [12] S.V. VENKATESH, I.R. MITHANTHAYA, S. DEEPA, Performance Based Analysis of 10 Storeys 5x5 Bays Model with Fixed base subjected to different monitored displacement, *International Journal of Advance Research and Innovative Ideas in Education IJARIIE*, vol. 7, Issue. 5, India, 97-109, (2021).
- [13] A. GHAEBELRAHMAT, Comparison of the Behavior of Steel Structure with Concentric and Eccentric Bracing Systems, master's thesis, North Cyprus. (2017).
- [14] FEMA 440 Improvement of Nonlinear Static Seismic Analysis Procedures, Federal Emergency Management Agency FEMA, USA. 2005.
- [15] D.S, JAYARAMAPPA, Nonlinear static analysis of RC frame structure, *IOSR Journal of Mechanical and Civil Engineering*, vol. 11, Issue. 2, India, 78-89, (2014).
- [16] ANSI/AISC 341-10 Seismic Provisions for Structural Steel Buildings, American Institute of Steel Construction AISC, Chicago, I.L, (2010).
- [17] ASCE/SEI 41-06 Seismic rehabilitation of existing buildings, American Society of Civil Engineers ASCE, Reston, V.A, (2007).
- [18] ASCE/SEI 7-10. (2010). Seismic Evaluation of Existing Buildings, American Society of Civil Engineers ASCE, Reston, V.A
- [19] ETABS Integrated Building Design Software version 22.0.0 computer and structures. USA. (2022).
- [20] S.Elkassas, Modified Force/Displacement-based Procedure for Performance-based Seismic Design of Regular RC Frames. *PHD Dissertation in The American University*, Cairo, Egypt.

